

بررسی فراوانی استیوم فرعی در سینوس ماگزیلاری در بیماران مراجعه کننده به بخش رادیولوژی دانشکده دندانپزشکی دانشگاه آزاد اصفهان در سال ۱۴۰۱-۱۴۰۰

نوید معتمدی^۱، آزاده ترکزاده^{۲*}، هدی حائریان^۲

مقاله پژوهشی

مقدمه: سینوس ماگزیلاری از طریق اوستیوم اولیه (PMO=Primary Maxillary Ostium) فک بالا به داخل اینفاندیبولوم تخلیه می‌شود، سپس از طریق هیاتوس سمیلونانریس به داخل میا توس میانی می‌ریزد و با حفره بینی ارتباط برقرار می‌کند. اوستیوم سینوس AMO=Accessory Maxillary Ostium (Ostium) ممکن است در ایجاد سینوزیت نقش داشته باشد ولی تاثیر وراحت یا محیط در وجود یا عدم وجود اکسسوری اوستیوم مشخص نیست. هدف این مطالعه یورسی استیوم اولیه و فرعی ماگزیلاری می‌باشد.

روش بررسی: در این مطالعه توصیفی- مقطعی ۱۳۰ تصویر CBCT (Cone-Beam Computed Tomography) (مجموعاً ۲۶۰ سینوس) از ماگزیلاری بیماران مراجعه کننده به بخش رادیولوژی دهان و فک و صورت دانشکده دندانپزشکی دانشگاه آزاد اصفهان در شهر اصفهان، ایران بررسی شدند. اندازه گیری‌ها در مقطع کرونال و توسط نرم‌افزار 3D On Demand انجام گرفت. آنالیز آماری توسط تست‌های Spearman، Exact fisher، T-Test و Shapiro-Wilk انجام گرفت.

نتایج: میانگین سنی بیماران $44/13 \pm 3/7$ و تعداد نمونه‌های زن و مرد هر کدام ۶۵ بود. میانگین قطر PMO (Primary Maxillary Ostium) به ترتیب در سمت راست $1/33 \pm 0/45$ و در سمت چپ $0/5 \pm 1/33$ بود. میانگین قطر AMO در 64% سینوس‌های سمت چپ و $38/5\%$ سینوس‌های سمت راست مشاهده شد. افزایش ضخامت مخاط سینوس در 26% از سینوس‌های سمت راست و 28% از سینوس‌های سمت چپ دیده شد و نهایتاً موکوس ریتنشن سیست به ترتیب در 9% سینوس‌های سمت راست و 8% از سینوس‌های سمت چپ وجود داشت.

نتیجه گیری: سایز Primary Maxillary Ostium با متغیرهای سن، جنس و وجود AMO از لحاظ آماری ارتباط معناداری نداشت، اما در سمت راست میانگین سایز Primary Maxillary Ostium در صورت وجود افزایش ضخامت مخاط سینوس کمتر از وقتی است که افزایش ضخامت وجود نداشته باشد.

واژه‌های کلیدی: توموگرافی کامپیوتربased با اشعه مخروطی، سینوس ماگزیلاری، استیوم سینوس ماگزیلاری

ارجاع: معتمدی نوید، ترکزاده آزاده، حائریان هدی. بررسی فراوانی استیوم فرعی در سینوس ماگزیلاری در بیماران مراجعه کننده به بخش رادیولوژی دانشکده دندانپزشکی دانشگاه آزاد اصفهان در سال ۱۴۰۰-۱۴۰۱. مجله علمی پژوهشی دانشگاه علوم پزشکی شهید صدوقی یزد ۳۰؛ ۱۴۰۱: ۸۴-۴۱۷۵.

۱- دانشکده دندانپزشکی، دانشگاه آزاد اسلامی اصفهان (خوارسگان)، اصفهان، ایران.

۲- گروه رادیولوژی دهان و فک و صورت، دانشکده دندانپزشکی، دانشگاه آزاد اسلامی اصفهان (خوارسگان)، اصفهان، ایران.

*نویسنده مسئول؛ تلفن: ۰۹۱۳۱-۰۶۳۴۸۴، پست الکترونیکی: azadehh.torkzadeh@gmail.com، صندوق پستی: ۸۹۱۶۸۸۳۴۷۴.

مقدمه

ماگزیلاری و اتموئید قدامی و فروننتال رسس میباشد (۲۷).
(تصویر ۱).

استیوم سینوس ماگزیلاری: استیوم سینوس ماگزیلاری در بالاترین قسمت دیواره مدیالی سینوس قرار گرفته است و میتواند تا ۴ میلیمتر قطر داشته باشد (۸). این قسمت به طور مستقیم به داخل مجرای بینی وارد نمیشود اما به داخل قسمت خلفی اینفاندیبولوم اتموئیدی از طریق هیاتوس سینیولاریس تخلیه و از آنجا به داخل مجرای بینی باز میشود (۹). استیوم سینوس ماگزیلاری در موقعیت فوقانی دیواره داخلی و بالاتر از کف حفره قرار گرفته که در نتیجه این موقعیت آناتومیک، درناز تنها با جاذبه انجام نشده و اساساً وابسته به عملکرد سیستم سیلیاری و فعالیت مژک‌های مخاط تنفسی پوشاننده سینوس که مایع را به سمت بالا هدایت میکنند، میباشد (۱۰). (تصویر ۲).

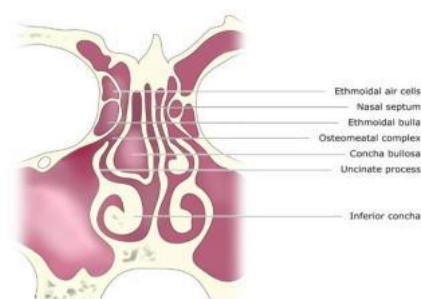
اوستیوم فرعی سینوس ماگزیلاری: اکسسوری ماگزیلاری اوستیوم یا AMO یکی از تنوعات آناتومیکی در سینوس ماگزیلاست که معمولاً در فونتنال در غشا طرفی دیواره بینی در میاثوس میانی قرار گرفته است و به شکل گرد یا بیضی، و موازی با صفحه عمودی دیواره طرفی بینی دیده میشود (۱۱) (تصویر ۳). در این تحقیق بر آن شدیدم تا موقعیت و اندازه استیوم اولیه سینوس ماگزیلاری و ارتباط آن با سن و جنس و سایر متغیرها، همچنین میزان فراوانی استیوم فرعی و ارتباط آن با افزایش ضخامت مخاط و وجود کیست احتباسی موکوسی را بررسی کنیم.

سینوس‌های پارانازال: سینوس‌های پارانازال شامل: سینوس اتموئید، سینوس اسفنوبیلد، سینوس فروننتال و سینوس ماگزیلاری میباشند (۱). همه سینوس‌های پارانازال به صورت بیرون زدگی‌هایی از حفره بینی ایجاد شده‌اند. به همین علت مخاط پوشاننده آن‌ها شبیه به مخاط حفره بینی است، که ابی تلیوم استوانه‌ای مژک‌دار مخطط کاذب است که هردو نوع غده سروزی و موسینی (گابلت سل) را دارد (۲).

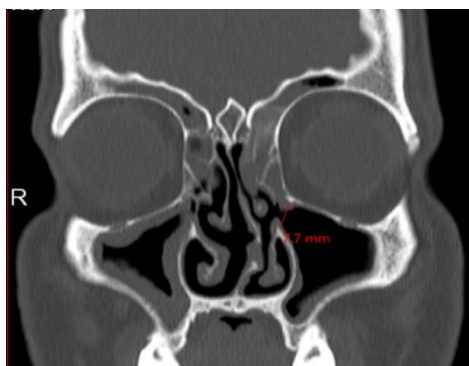
عملکرد سینوس‌های پارانازال: سینوس‌های پارانازال به رزونانس صدا، گرم و مرطوب کردن هوای استنشاقی، افزایش غشای بوبیابی، جذب و کاهش شوک وارد شده به سر و صورت، عایق بندی گرمایی برای مغز، کمک به رشد صورت و سبک کردن استخوان‌های صورت و جمجمه کمک میکنند (۳,۴).

سینوس ماگزیلاری: سینوس ماگزیلاری از ساختارهای مزودرم ایجاد میشود که از قوس اول برانشیال منشا میگیرد (۵). با گذشت زمان، سینوس ماگزیلاری به طور پیشرونده هواده‌ی شده و به صورت حفره هوایی داخل استخوان در جهت لترالی از زیر اریبیت به سمت زائده زایگوماتیک و از پایین به سمت زائده آلوتلار گسترش می‌یابد (۶).

کمپلکس استیومئاتال: کمپلکس استیومئاتال یا واحد استیومئاتال یک ساختار آناتومیک مجرزا نیست، بلکه یک واحد عملکردی از ساختارهایی شامل میاثوس میانی، uncinate process، اینفاندیبولوم، اتموئید بولا، استیوم سینوس‌های



تصویر ۱: نمای شماتیک کمپلکس استیومئاتال



تصویر ۳: استیوم فرعی ماگزیلاری

سطح تحلیلی از آزمون همبستگی Pearson rank و رگرسیون چند متغیره استفاده شد.

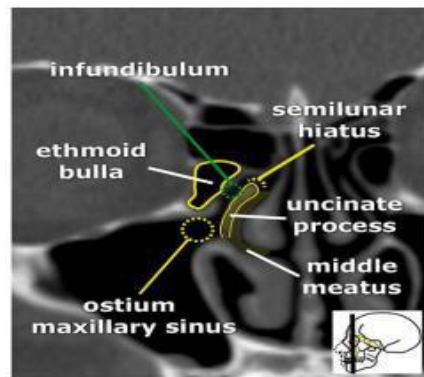
داده‌های به دست آمده از تحقیق با استفاده از آزمون‌های آماری و نرمافزار SPSS version 16 تحلیل شد. میزان خطا قابل قبول در مطالعه معادل 0.05 در نظر گرفته شد.

ملاحظات اخلاقی

پروپوزال این مطالعه، توسط کمیته اخلاق دانشگاه آزاد اسلامی اصفهان شاخه خوارسگان با کد اخلاق IR.IAU.KHUISF.1400.219 مورد تایید قرار گرفته است.

نتایج

طبق نتایج به دست آمده از این مطالعه موقعیت PMO در تمامی نمونه‌های بررسی در یک سوم میانی توربینیت میانی بوده است، بنابراین رابطه‌ای بین موقعیت PMO با سایر متغیرها وجود ندارد. میانگین سایز PMO در سمت راست و چپ به ترتیب 1.33 ± 0.45 و 1.33 ± 0.5 میلی‌متر بود (جدول ۱-۳). اکسسوری استیوم (AMO) در 64% (۸۳ مورد) از سینوس‌های سمت چپ و 50% (۳۸/۵ مورد) از سینوس‌های سمت راست مشاهده شد. افزایش ضخامت مخاط در 26% (۳۴ مورد) از سینوس‌های سمت راست و 28% (۳۷ مورد) سینوس‌های سمت چپ دیده شد و نهایتاً موکوس ریتنشن سیست به ترتیب در 9% (۱۲ مورد) سینوس‌های سمت راست و 8% (۱۰ مورد) از سینوس‌های سمت چپ وجود داشت (جدول ۲-۳). بررسی‌های PMO (Primary Maxillary Ostium) (Mucous MRC) با شیوع AMO، جنسیت وجود



تصویر ۲: استیوم اولیه سینوس ماگزیلاری

روش بررسی

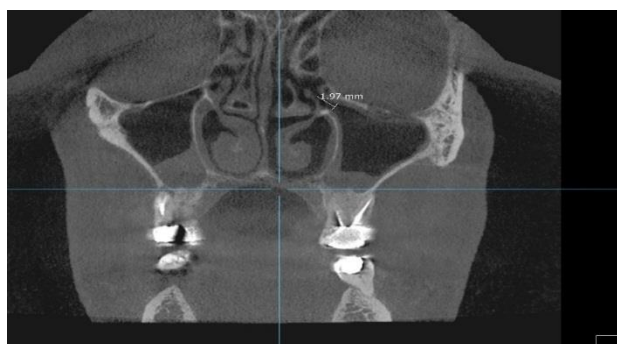
در این تحقیق توصیفی-مقطعی ما ۱۳۰ تصویر CBCT (Cone-Beam Computed Tomography) از آرشیو تصاویر بیماران مراجعه‌کننده به بخش رادیولوژی دهان و فک و صورت داشکده دندانپزشکی را بررسی کردیم. این تصاویر مجموعاً شامل ۲۶ سینوس از ۶۵ زن و ۶۵ مرد با محدوده سنی ۱۹ تا ۷۲ سال (میانگین 44.13 ± 3.7 سال) بود. تصاویر ماگزیلاری تهیه شده از بیماران بالای ۱۸ سال برای مطالعه انتخاب شدند. همچنین تصاویر بیماران با شواهد جراحی یا ترومای آنومالی‌های مادرزادی صورت، آسیمتری اسکلتال، بدخیمی‌ها یا هر نوع تومور و ضایعات در ناحیه سینوس ماگزیلاری و حفره بینی و ساختارهای اطراف و بیماران دارای شواهدی از بیماری استخوانی از مطالعه خارج شدند. تمامی تصاویر با استفاده از دستگاه Galileos (Sirona, Germany) با شرایط اکسپوزر 85 kVp و $5/2$ میلی‌آمپر ثانیه (بسته به سن و جثه بیمار) تهیه شدند. اندازه‌گیری‌ها توسط نرم افزار Cybermed (On Demand 3D Inc, Korea) انجام شد. تمامی اندازه‌گیری‌ها توسط یک مشاهده‌گر و در مقاطع کرونال با ضخامت "۰" میلی‌متر و اینترووال ۲ میلی‌متر صورت گرفت. اندازه‌گیری‌ها به صورت ۲ طرفه انجام و ثبت گردید.

تجزیه و تحلیل آماری

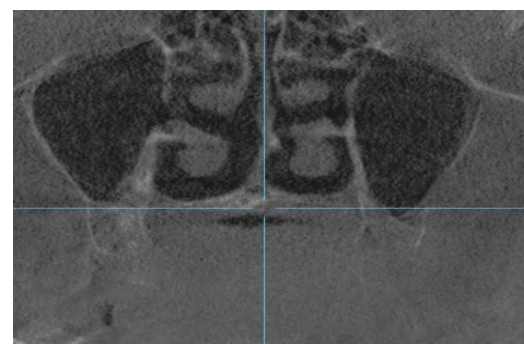
تجزیه و تحلیل در دو سطح توصیفی و تحلیلی انجام شد. در سطح توصیفی شاخص‌های میانگین، انحراف معیار، جداول توزیع فراوانی توسط آزمون‌های T-Test و Shapiro-Wilk بررسی و در

در سمت چپ تفاوت معنادار نیست و وجود و یا عدم وجود افزایش ضخامت مخاط سینوس تاثیری در سایز PMO ندارد. در مورد ارتباط سایز PMO و سن، طبق آزمون همبستگی Spearman rank معنادار نیست و رابطه‌ای بین سن و سایز PMO وجود ندارد. طبق جدول ۳ و ۴ نتایج زیر در مورد ارتباط شیوع AMO با افزایش ضخامت مخاط سینوس و شیوع MRC به دست آمد.

Shapiro-Wilk Retention Cyst) توزیع نرمال را نشان ندادند و در نتیجه با استفاده از T-Test رابطه معناداری بین متغیرها یافت نشد. در مورد ارتباط سایز PMO با افزایش ضخامت مخاط سینوس، با استفاده از T-Test رابطه معناداری ($P < 0.05$) بین سایز PMO سمت راست و وجود یا عدم وجود افزایش ضخامت مخاط مشاهده شد، به طوریکه میانگین سایز PMO سمت راست در صورت وجود افزایش ضخامت مخاط سینوس کمتر از حالت عدم وجود آن است. اما



تصویر ۵: اندازه گیری سایز استیوم اولیه



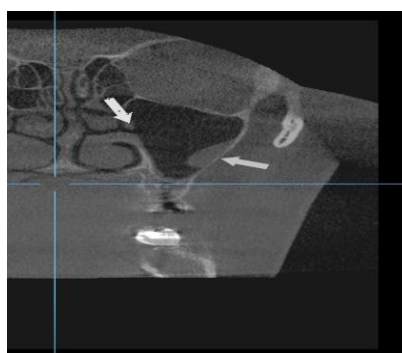
تصویر ۴: استیوم فرعی در سینوس سمت راست



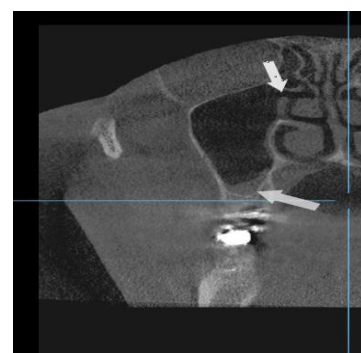
تصویر ۶: موکوس ریتنشن سیست در سینوس سمت چپ



تصویر ۷: افزایش ضخامت مخاط در سینوس سمت راست و وجود موکوس ریتنشن سیست در سینوس سمت چپ



تصویر ۹: وجود استیوم فرعی و موکوس ریتنشن سیست



تصویر ۸: وجود استیوم فرعی و افزایش ضخامت مخاط

جدول ۱: آمار توصیفی متغیرهای کمی

متغیر	تعداد	مینیمم	ماکسیمم	انحراف معیار \pm میانگین (میلی‌متر)
سایز PMO راست	۱۳۰	۰/۳۱	۲/۳۵	۱/۳۲۸ \pm ۰/۴۵۴
سایز PMO چپ	۱۳۰	۰/۰۸	۲/۹۳	۱/۳۳۳ \pm ۰/۰۵۰۲

PMO=Primary Maxillary Ostium

جدول ۲: آمار توصیفی متغیرهای کیفی

P	درصد فراوانی	وجود	متغیر
۰/۰۱	۸۰ (۶۱/۵)	خیر	AMO سمت راست
	۵۰ (۳۸/۵)	بلی	
	۱۳۰ (۱۰۰)	کل	
<۰/۰۰۲	۴۷ (۳۶)	خیر	AMO سمت چپ
	۸۳ (۶۴)	بلی	
	(۱۳۰) ۱۰۰	کل	
<۰/۰۰۱	۹۶ (۷۴)	خیر	افزایش ضخامت مخاط سمت راست
	۳۴ (۲۶)	بلی	
	۱۳۰ (۱۰۰)	کل	
<۰/۰۰۱	۹۳ (۷۲)	خیر	افزایش ضخامت مخاط سمت چپ
	۳۷ (۲۸)	بلی	
	۱۳۰ (۱۰۰)	کل	
<۰/۰۰۱	۱۱۸ (۹۱)	خیر	MRC سمت راست
	۱۲ (۹)	بلی	
	۱۳۰ (۱۰۰)	کل	
<۰/۰۰۱	۱۲۰ (۹۲)	خیر	MRC سمت چپ
	۱۰ (۸)	بلی	
	۱۳۰ (۱۰۰)	کل	

AMO=Accessory Maxillary Ostium

MRC=Mucous Retention Cyst

Shapiro-Wilk test

جدول ۳: ارتباط شیوع استیوم فرعی ماگزیلاری (AMO) با افزایش ضخامت مخاط

P	کل	افزایش ضخامت مخاط		AMO سمت راست	
		خیر	بلی	(درصد) فراوانی	خیر
۰/۸۳۸	۸۰ (۱۰۰)	۲۰ (۲۵)	۶۰ (۷۵)	(درصد) فراوانی	خیر
	۵۰ (۱۰۰)	۱۴ (۲۸)	۳۶ (۷۲)	(درصد) فراوانی	بلی
	۱۳۰ (۱۰۰)	۳۴ (۲۶/۲)	۹۶ (۷۳/۸)	(درصد) فراوانی	کل
سمت AMO					
۰/۳۱۶	۸۳ (۱۰۰)	۲۱ (۲۵/۳)	۶۲ (۷۴/۷)	(درصد) فراوانی	خیر
	۴۷ (۱۰۰)	۱۶ (۳۴)	۳۱ (۶۶)	(درصد) فراوانی	بلی
	۱۳۰ (۱۰۰)	۳۷ (۲۸/۵)	۹۳ (۷۱/۵)	کل	کل

جدول ۴: ارتباط شیوع استیوم فرعی ماگزیلاری (AMO) با شیوع کیست احتباسی موکوسی (MRC)

P	کل	MRC وجود		AMO سمت راست	
		خیر	بلی	فراوانی	خیر
۱	۸۰ (٪ ۱۰۰)	۷ (٪ ۸/۸)	۷۳ (٪ ۹۱/۲)	فراوانی	خیر
	۵۰ (٪ ۱۰۰)	۵ (٪ ۱۰)	۴۵ (٪ ۹۰)	فراوانی	بلی
	۱۳۰ (٪ ۱۰۰)	۱۲ (٪ ۹/۲)	۱۱۸ (٪ ۹۰/۸)	فراوانی	کل
سمت AMO					
۱	۸۳ (٪ ۱۰۰)	۷ (٪ ۸/۴)	۷۶ (٪ ۹۱/۶)	فراوانی	خیر
	۴۷ (٪ ۱۰۰)	۳ (٪ ۶/۴)	۴۴ (٪ ۹۳/۶)	فراوانی	بلی
	۱۳۰ (٪ ۱۰۰)	۱۰ (٪ ۸)	۱۲۰ (٪ ۹۲)	کل	کل

با توجه به این جداول و طبق آزمون Exact Fisher رابطه‌ای بین شیوع AMO (استیوم فرعی ماگزیلاری) و افزایش ضخامت مخاط سینوس و شیوع MRC (کیست احتباسی موکوسی) وجود ندارد.

سینوس‌های ماگزیلاری ۱۸۴ نفر و در مجموع ۳۶۸ سینوس به این نتیجه رسیدند که PMO در ۹۴٪ نمونه‌ها دیده شد و مکان آن در یک سوم میانی توربینیت تحتانی قرار دارد و AMO در ۴۵٪ موارد دیده شد و در ۱۷٪ موارد چندین اوستیوم فرعی دیده شد (۱۳). در مطالعه Mohammad Waheed El-Anwar و همکاران با هدف ارزیابی استیوم سینوس فک بالا ۸۶CT نفر و در مجموع ۱۷۲ سینوس بررسی شد و به این نتیجه رسیدند که عرض استیوم حدود ۱ تا ۱۱ میلی‌متر است و فاصله استئوم تا دیواره فک بالا از ۷ تا ۲۵ میلی‌متر است و فاصله استئوم تا دیواره خلفی ماگزیلاری از ۲ تا ۱۸ میلی‌متر می‌تواند متغیر باشد (۱۴) در حالیکه در مطالعه حاضر به ترتیب بیشترین و کمترین عرض استیوم ۲/۹۳ و ۰/۰۸ میلی‌متر گزارش شده است. این تفاوت در نتیجه‌ها

بحث

این مطالعه موقعیت و سایز PMO و شیوع AMO را توسط CBCT بررسی کرد. AMO در ۱۳۳ مورد از مجموع ۲۶۰ سینوس بررسی شده (٪ ۵۱) مشاهده شد. PMO در تمامی نمونه‌ها در ۱/۳ میانی توربینیت تحتانی دیده شد. جنسیت و سن هیچ تاثیری روی سایز PMO و شیوع AMO نداشت. در مطالعه Kuofeng Hung و همکاران بر روی موقعیت و شکل اوستیوم فرعی که توسط CBCT انجام شد، در مجموع با بررسی ۳۲۰ سینوس به این نتیجه رسیدند که اوستیوم فرعی در ۴۷/۲ درصد افراد آن جمعیت دیده شد و شکل آن در ۴۸ درصد افراد به صورت بیضی و با طول متوسط ۳ میلی‌متر به دست آمد (۱۲). در CBCT Andy Wai Kan Yeung و همکاران بر روی مطالعه

مطالعه ما ارتباطی بین وجود استیووم فرعی و افزایش ضخامت مخاط و بروز موکوس ریتنشن سیست مشاهده نشد که علت آن می‌تواند تفاوت در تعداد نمونه‌ها، ابزار اندازه‌گیری CT به جای CBCT و تفاوت نژادی جمعیت مورد بررسی باشد. آن‌ها همچنان شیوع استیووم فرعی را ۱۹/۱٪ گزارش کردند (۱۸). مطالعه حاضر به واسطه طبیعت گذشته‌نگر بودن خود و استفاده از داده‌های رادیوگرافیک محدودیت دارد و طراحی آن نمی‌تواند رابطه دقیق علت-معلولی بین متغیرها را بررسی کند. پیشنهاد می‌شود مطالعات آینده رابطه علت-معلولی بین استیووم فرعی ماگزیلاری و سینوزیت حاد و راجعه را مورد بررسی قرار دهن.

نتیجه‌گیری

طبق مطالعه حاضر، از آنجایی‌که PMO در تمامی نمونه‌ها در ۱/۳ میانی توربینیت میانی قرار گرفته بود، لذا با سایر متغیرها ارتباطی نداشت. همچنان سایز PMO با متغیرهای سن، جنس و وجود AMO از لحاظ آماری ارتباط معناداری نداشت، اما در سمت راست میانگین سایز PMO در صورت وجود افزایش ضخامت مخاط سینوس کمتر از وقتی است که افزایش ضخامت وجود نداشته باشد. همچنان بین شیوع AMO در هر دو سمت با سن و وجود موکوس ریتنشن سیست ارتباط معناداری یافت نشد.

سپاس‌گزاری

این مقاله منتج از پایان‌نامه با همین موضوع می‌باشد.

حامی مالی: ندارد

تعارض در منافع: ندارد.

می‌تواند به علت استفاده از CT به جای CBCT و همچنان تفاوت در تعداد نمونه‌ها و نژاد جمعیت مورد بررسی باشد. ارتباط AMO با سینوزیت حاد در مطالعات حیوانی قبلی و تشکیل استیووم فرعی را بعد از القای سینوزیت در خرگوش‌ها نشان داده است (۱۵). همچنان مطالعات بالینی هم حضور AMO را در بیماران با سینوزیت مزمن به صورت شایع‌تری گزارش کرده‌اند. شیوع بالاتر استیووم فرعی ماگزیلاری در بیماران با سابقه دوره‌های مکرر سینوزیت ماگزیلاری، پیشنهاد کننده این است که استیووم فرعی ممکن است متعاقب پاتولوژی ایجاد شود. یک مکانیسم محتمل برای تشکیل استیووم فرعی، مسدود شدن یا تنگ شدن استیووم اصلی توسط ادم مخاطی در نتیجه سینوزیت مزمن یا سایر فاکتورهای آناتومیک یا پاتولوژیک در مثانوس میانی است که منجر به پارگی بخش غشایی دیواره لترال بینی می‌شود. تقایص فونتائل و شکل‌گیری استیووم فرعی، می‌تواند باعث باقیماندن التهاب مزمن سینوس ماگزیلاری توسط محدود کردن گردش موکوس بین مدخلهای مجاور شود (۱۶). Capelli و همکاران به این نتیجه رسیدند که در صورتی که ضخامت مخاط سینوس ماگزیلاری بیشتر یا مساوی ۲ میلی‌متر و استیووم طبیعی ماگزیلاری بسته باشد، این وضعیت به صورت معنا داری با رینوسینوزیت مزمن مرتبط است، در حالیکه واریاسیون‌های آناتومیک معمول از جمله کونکا بولوزا، سلولهای هالر و استیووم فرعی ارتباطی با رینوسینوزیت نداشتند (۱۷). Yenigun و همکاران هم گزارش کردند که وجود استیووم فرعی حدوداً با افزایش بروز ۳ برابری موکوس ریتنشن سیست و افزایش بروز ۲ برابری افزایش ضخامت مخاط سینوس و سینوزیت ماگزیلاری در ارتباط است، این در حالی است که در

References:

- 1-Bolger WE, Butzin CA, Parsons DS. *Paranasal Sinus Bony Anatomic Variations and Mucosal Abnormalities: CT Analysis for Endoscopic Sinus Surgery*. Laryngoscope 1991; 101(1): 56-64.
- 2-Kennedy DW, Zinreich SJ. *The Functional Endoscopic Approach to Inflammatory Sinus Disease: Current Perspectives and Technique Modifications*. American J Rhinology 1988; 2(3): 89-96.
- 3-Shankar L, Evans K, Marotta TR, Yu E, Hawke M, Stammberger H. *An atlas of imaging of the paranasal sinuses*. 2nd ed. London: CRC Press; 2021: 12-3.
- 4-Mendiratta V, Baisakhiya N, Singh D, Datta G, Mittal A, Mendiratta P. *Sinonasal Anatomical Variants: CT and Endoscopy Study and Its Correlation with Extent of Disease*. Indian J Otolaryngol Head Neck Surg 2016; 68(3): 352-8.
- 5-Harris AM, Wood RE, Nortjé CJ, Thomas CJ. *The Frontal Sinus: Forensic Fingerprint?-A Pilot Study*. J Forensic Odontostomatol 1987; 5(1): 9-15.
- 6-Bandyopadhyay R, Biswas R, Bhattacherjee S, Pandit N, Ghosh S. *Osteomeatal Complex: A Study of Its Anatomical Variation among Patients Attending North Bengal Medical College and Hospital*. Indian J Otolaryngol Head Neck Surg 2015; 67(3): 281-6.
- 7-Mosher HP. *LXXII. Symposium on the Ethmoid: The Surgical Anatomy of the Ethmoidal Labyrinth*. Annals of Otology, Rhinology & Laryngology 1929; 38(4): 869-901.
- 8-Tardy M, Brown R. *Topographic Anatomy and Landmarks*. Surgical Anatomy of the Nose. 1st ed. New York: Raven Press; 1990: 54-6.
- 9-Pandolfo I, Gaeta M, Blandino A, Longo M. *The Radiology of the Pterygoid Canal: Normal and Pathologic Findings*. AJNR Am J Neuroradiol 1987; 8(3): 479-83.
- 10- Hasan OA, Hassan MA, Fawzy EK, Maarouf AM. *Anatomical Variations of Nasal Structures in Chronic Rhinosinusitis as Detected by Computed Tomography Scan*. The Egyptian J Hospital Medicine 2017; 68(3): 1390-4.
- 11- AlQabbani A, Aldhahri R, Alhumaizi A. *Rare Variation of Accessory Maxillary Ostium*. Cureus2020; 12(12): e11921.
- 12- Hung K, Montalvao C, Yeung AW, Li G, Bornstein MM. *Frequency, Location, and Morphology of Accessory Maxillary Sinus Ostia: A Retrospective Study Using Cone Beam Computed Tomography (CBCT)*. Surg and Radiol Anat 2020; 42(2): 219-28.
- 13- Yeung AW, Colsoul N, Montalvao C, Hung K, Jacobs R, Bornstein MM. *Visibility, Location, and Morphology of the Primary Maxillary Sinus Ostium and Presence of Accessory Ostia: A Retrospective Analysis Using Cone Beam Computed Tomography (CBCT)*. Clin Oral Investigat 2019; 23(11): 3977-86.
- 14- El-Anwar MW, Raafat A, Almolla RM, Alsowey AM, Elzayat S. *Maxillary Sinus Ostium Assessment: A CT Study*. The Egyptian Journal of Radiology and Nuclear Medicine 2018; 49(4): 1009-13.

- 15- Genc S, Ozcan M, Titiz A, Unal A. *Development of Maxillary Accessory Ostium Following Sinusitis in Rabbits.* Rhinology 2008; 46(2): 121-4.
- 16- Bani-Ata M, Aleshawi A, Khatatbeh A, Al-Domaidat D, Alnussair B, Al-Shawaqfeh R, et al. *Accessory Maxillary Ostia: Prevalence of an Anatomical Variant and Association with Chronic Sinusitis.* Int J Gen Med 2020; 13: 163-8.
- 17- Capelli M, Gatti P. *Radiological Study of Maxillary Sinus Using CBCT: Relationship between Mucosal Thickening and Common Anatomic Variants in Chronic Rhinosinusitis.* J Clin Diagn Res 2016; 10(11): MC07-10.
- 18- Yenigun A, Fazliogullari Z, Gun C, Uysal II, Nayman A, Karabulut AK. *The Effect of the Presence of the Accessory Maxillary Ostium on the Maxillary Sinus.* Eur Arch Oto-Rhino-Laryngology 2016; 273(12): 4315-9.

Investigation of the Frequency of Accessory Ostium in the Maxillary Sinus in Patients Referred to the Radiology Department of the Faculty of Dentistry, Azad University of Isfahan in 2021-2022

Navid Motamed¹, Azadeh Torkzadeh^{*2}, Hoda Haerian²

Original Article

Introduction: Maxillary sinus drains through the primary maxillary ostium into the infundibulum, then flows through the hiatus semilunaris into the middle meatus and communicates with the nasal cavity. The maxillary sinus ostium is located approximately at the most superior part of the medial wall of the sinus. Accessory maxillary ostium (AMO) may play a role in sinusitis, but the effect of heredity or environment on the presence or absence of AMO is unknown. The aim of this study was to assess the primary and accessory maxillary ostium.

Methods: In this descriptive-cross-sectional study, 130 Cone Beam Computed Tomography scans (260 sinuses in total) from the maxilla of patients referred to the Department of Oral and Maxillofacial Radiology, School of Dentistry of Isfahan Azad University were examined in Isfahan City, Iran (in the year 2021-2022). Measurements were performed in the coronal section by On Demand 3D software. Statistical analysis was performed by T-Test, Exact fisher, Shapiro-Wilk and Spearman tests through SPSS statistics version 16.

Results: The mean diameter of primary maxillary ostium was 1.33 ± 0.45 on the right and 1.33 ± 0.5 on the left, respectively. AMO was observed in 64% of the left sinuses and 38.5% of the right sinuses. Increased sinus mucosal thickness was seen in 26% of the right sinuses and 28% of the left sinuses, and finally Mucous Retention Cyst in 9% of the right sinuses and 8% of left sinuses, respectively.

Conclusion: Primary maxillary ostium size was not statistically significant related to the variables of age, sex and the presence of AMO, but on the right side, the average primary maxillary ostium size is less if there is increase in the thickness of the sinus mucosa than when there is no increase in the thickness.

Keywords: Cone-beam computed tomography, Maxillary sinus, Maxillary sinus ostium.

Citation: Motamed N, Torkzadeh A, Haerian H. **Investigation of the Frequency of Accessory Ostium in the Maxillary Sinus in Patients Referred to the Radiology Department of the Faculty of Dentistry, Azad University of Isfahan in 2021-2022.** J Shahid Sadoughi Uni Med Sci 2023; 30(12): 4175-84.

¹School of Dentistry, Islamic Azad University of Isfahan (Khorasan Branch), Isfahan, Iran.

²Department of Oral and Maxillofacial Radiology, School of Dentistry, Islamic Azad University of Isfahan (Khorasan Branch), Isfahan, Iran.

*Corresponding author: Tel: 09131063484, email: azadehh.torkzadeh@gmail.com